

# **OSNOVI METODE KONAČNIH ELEMENATA**

## **Predavanje VIII**

---



**Univerzitet u Novom Sadu, Fakultet tehničkih nauka**

**Departman za građevinarstvo i geodeziju**

**Katedra za konstrukcije**

**Prof. dr Andrija Rašeta**

**kabinet LG209**

**email: [araseta@uns.ac.rs](mailto:araseta@uns.ac.rs) i [araseta@gmail.com](mailto:araseta@gmail.com)**

# OSNOVI METODE KONAČNIH ELEMENATA

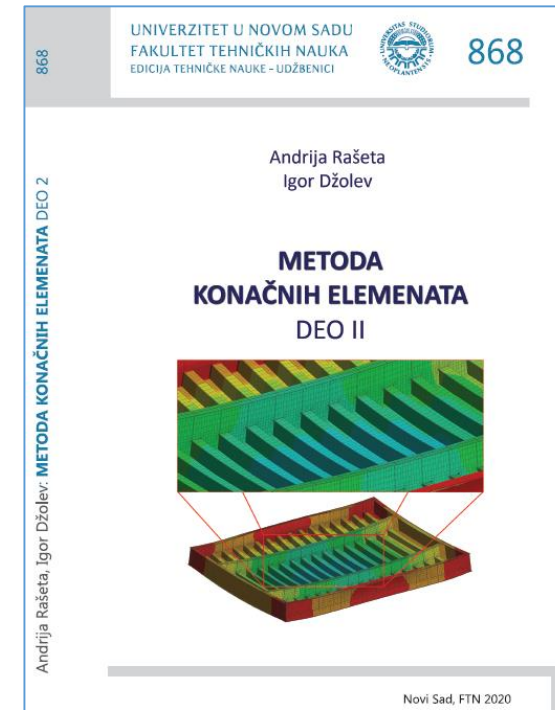
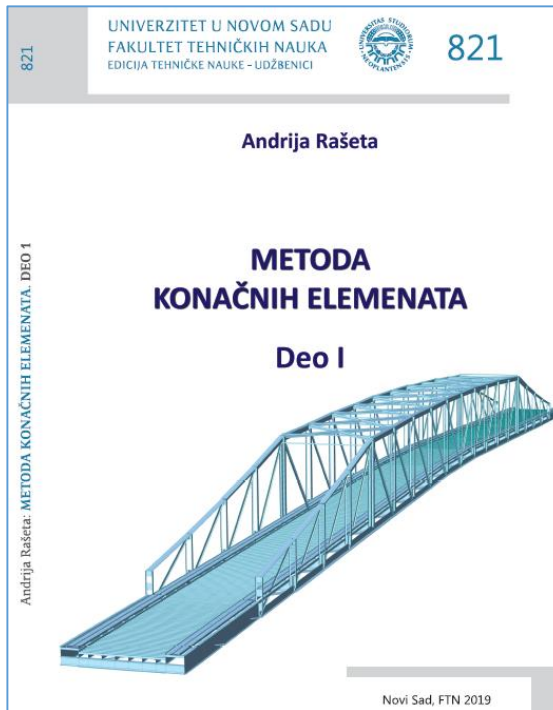
## Predavanje VIII



**Fleksiono izvijanje linijskih nosača  
Stabilnost tankih ploča**

# Literatura

- **Metoda konačnih elemenata, deo I,**  
A. Rašeta, FTN Novi Sad, 2019.
- **Metoda konačnih elemenata, deo II,**  
A. Rašeta, I. Džolev, FTN Novi Sad, 2020.



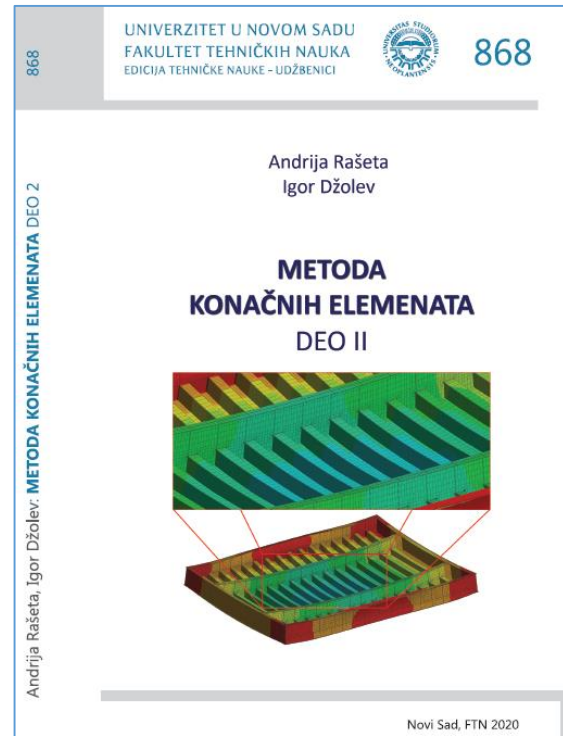
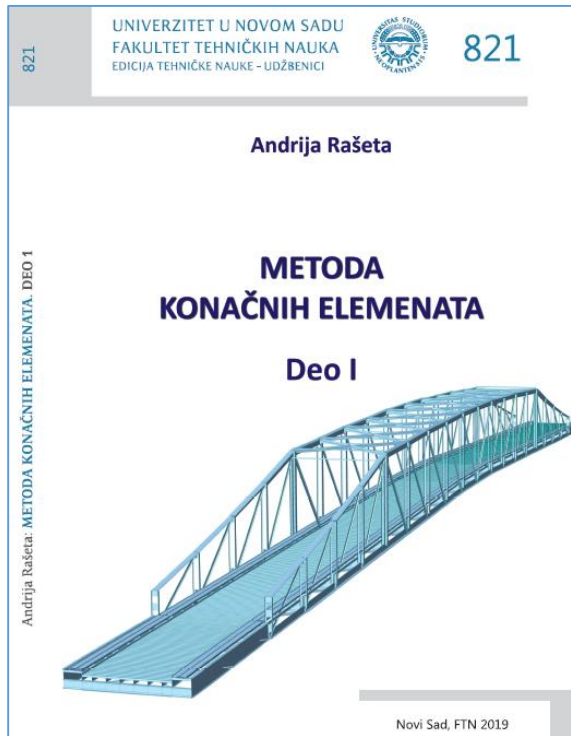
# Bifurkaciona stabilnost linijskih nosača



**Fleksiono izvijanje**

# Literatura

- **Metoda konačnih elemenata, deo I**, A. Rašeta, 2019., FTN Novi Sad, <http://www.mke.gradjevinans.net>
- **Metoda konačnih elemenata, deo II**, A. Rašeta, I. Džolev, FTN Novi Sad, 2020. <http://www.mke.gradjevinans.net>



# Bifurkaciona stabilnost. Matrica krutosti linijskog KE

- Komponenta tenzora deformacije, dilatacija u pravcu ose štapa, u okviru nelinearne teorije elastičnosti glasi

$$\varepsilon_x = \frac{\partial u}{\partial x} + \frac{1}{2} \left[ \left( \frac{\partial u}{\partial x} \right)^2 + \left( \frac{\partial v}{\partial x} \right)^2 + \left( \frac{\partial w}{\partial x} \right)^2 \right]$$

- Dilatacija vlakna koje leži u osi štapa, u pravcu ose štapa

$$\varepsilon_x^o = \varepsilon_o = \frac{\partial u_o}{\partial x} + \frac{1}{2} \left[ \left( \frac{\partial u_o}{\partial x} \right)^2 + \left( \frac{\partial v_o}{\partial x} \right)^2 + \left( \frac{\partial w_o}{\partial x} \right)^2 \right]$$

- Izraz za dilataciju proizvoljnog vlakna u pravcu ose štapa u ravni x – y, pri čemu je uobičajeno da se u okviru tehničke teorije savijanja član  $\left( \frac{du_o}{dx} \right)^2$  zanemaruje, glasi

$$\varepsilon_x = \varepsilon_o - y \kappa_z = \frac{du_o}{dx} + \frac{1}{2} \left( \frac{dv_o}{dx} \right)^2 - y \frac{d^2 v_o}{dx^2}$$

$$\varepsilon = \frac{du}{dx} + \frac{1}{2} \left( \frac{dv}{dx} \right)^2$$

$$\kappa_z = \frac{d^2 v}{dx^2}$$

# Bifurkaciona stabilnost. Matrica krutosti linijskog KE

- Potencijalna energija deformacije linijskog KE izloženog aksijalnom naprezanju i savijanju u x – y ravni određuje se na sledeći način**

$$U = \frac{1}{2} \int_L^S (EA\varepsilon^2 + EI_z\kappa_z^2) dx$$

Kao viši stepen male veličine može da se zanemari u odnosu na ostale članove

$$U = \frac{1}{2} \int_L^S \left[ EA \left( \frac{du}{dx} \right)^2 + EA \left( \frac{du}{dx} \right) \left( \frac{dv}{dx} \right)^2 + \frac{1}{4} EA \left( \frac{dv}{dx} \right)^4 + EI_z \left( \frac{d^2v}{dx^2} \right)^2 \right] dx$$

$$U = \frac{1}{2} \int_L^S \left[ EA \left( \frac{du}{dx} \right)^2 + EI_z \left( \frac{d^2v}{dx^2} \right)^2 + S \left( \frac{dv}{dx} \right)^2 \right] dx$$

$$U_{aks} = \frac{1}{2} \int_L^S \left[ EA \left( \frac{du}{dx} \right)^2 \right] dx$$

$$U_{sav} = \frac{1}{2} \int_L^S \left[ EI_z \left( \frac{d^2v}{dx^2} \right)^2 + S \left( \frac{dv}{dx} \right)^2 \right] dx$$

# Bifurkaciona stabilnost. Matrica krutosti linijskog KE

- Raspodela pomeranja u pravcu ose i upravno na osu, u polju KE, u zavisnosti od generalisanih pomeranja u čvorovima može da se prikaže u obliku

$$u(x) = \mathbf{N}_{aks} \mathbf{d}_{aks} \quad v(x) = \mathbf{N}_{sav} \mathbf{d}_{sav}$$

- Sada sledi

$$U_{aks} = \frac{1}{2} \mathbf{d}_{aks}^T \mathbf{k}_{aks} \mathbf{d}_{aks} \quad \mathbf{k}_{aks} = \int_L \left( EA \frac{d\mathbf{N}_{aks}^T}{dx} \frac{d\mathbf{N}_{aks}}{dx} \right) dx$$

$$U_{sav} = \frac{1}{2} \mathbf{d}_{sav}^T \mathbf{k}_{sav} \mathbf{d}_{sav} \quad \mathbf{k}_{sav} = \int_L \left( \frac{d^2 \mathbf{N}_{sav}^T}{dx^2} EI_z \frac{d^2 \mathbf{N}_{sav}}{dx^2} \right) dx + S \int_L \left( \frac{d\mathbf{N}_{sav}^T}{dx} \frac{d\mathbf{N}_{sav}}{dx} \right) dx$$

Razlika u odnosu na rešenje linearne teorije za matricu krutosti grednog KE

- gde je  $S$  aksijalna sila u KE i unosi se sa pozitivnim znakom u slučaju zatezanja, odnosno sa negativnim znakom u slučaju pritiska

# Bifurkaciona stabilnost. Matrica krutosti linijskog KE

- Usvajaju se IF (rešenje teorije prvog reda)

$$\mathbf{N}_{aks} = \begin{bmatrix} 1 - \frac{x}{L} & \frac{x}{L} \end{bmatrix} \quad \mathbf{N}_{sav} = \begin{bmatrix} 1 - \frac{3x^2}{L^2} + \frac{2x^3}{L^3} & x - \frac{2x^2}{L} + \frac{x^3}{L^2} & \frac{3x^2}{L^2} - \frac{2x^3}{L^3} & -\frac{x^2}{L} + \frac{x^3}{L^2} \end{bmatrix}$$

- Aproksimativno rešenje za matricu krutosti

$$\mathbf{k}_{aks} = \int_L^L \left( EA \frac{d\mathbf{N}_{aks}^T}{dx} \frac{d\mathbf{N}_{aks}}{dx} \right) dx = \frac{EA}{L} \begin{bmatrix} 1 & -1 \\ -1 & 1 \end{bmatrix}$$

$$\mathbf{k}_0 = \int_L^L \left( \frac{d^2\mathbf{N}_{sav}^T}{dx^2} EI_z \frac{d^2\mathbf{N}_{sav}}{dx^2} \right) dx = \frac{EI_z}{L^3} \begin{bmatrix} 12 & 6L & -12 & 6L \\ 6L & 4L^2 & -6L & 2L^2 \\ -12 & -6L & 12 & -6L \\ 6L & 2L^2 & -6L & 4L^2 \end{bmatrix}$$

$$\mathbf{k}_g = S \int_L^L \left( \frac{d\mathbf{N}_{sav}^T}{dx} \frac{d\mathbf{N}_{sav}}{dx} \right) dx = \frac{S}{30L} \begin{bmatrix} 36 & 3L & -36 & 3L \\ 3L & 4L^2 & -3L & -L^2 \\ -36 & -3L & 36 & -3L \\ 3L & -L^2 & -3L & 4L^2 \end{bmatrix}$$

geometrijska matrica  
krutosti (konzistentna  
geometrijska matrica  
krutosti ili matrica  
inicijalnih napona)

$$\mathbf{k}_{xy} = \mathbf{k}_{0xy} + \mathbf{k}_{gxy}$$

# Bifurkaciona stabilnost. Matrica krutosti linijskog KE

- Aproksimativno rešenje za matricu krutosti pri aksijalnom naprezanju i savijanju u x – y ravni

$$\mathbf{k}_{oxy} = \begin{bmatrix} 1 & 2 & 3 & 4 & 5 & 6 \\ \frac{EA}{L} & 0 & 0 & -\frac{EA}{L} & 0 & 0 \\ 0 & \frac{12EI_z}{L^3} & \frac{6EI_z}{L^2} & 0 & -\frac{12EI_z}{L^3} & \frac{6EI_z}{L^2} \\ 0 & \frac{6EI_z}{L^2} & \frac{4EI_z}{L} & 0 & -\frac{6EI_z}{L^2} & \frac{2EI_z}{L} \\ -\frac{EA}{L} & 0 & 0 & \frac{EA}{L} & 0 & 0 \\ 0 & -\frac{12EI_z}{L^3} & -\frac{6EI_z}{L^2} & 0 & \frac{12EI_z}{L^3} & -\frac{6EI_z}{L^2} \\ 0 & \frac{6EI_z}{L^2} & \frac{2EI_z}{L} & 0 & -\frac{6EI_z}{L^2} & \frac{4EI_z}{L} \end{bmatrix}_{6 \times 6}$$

$$\mathbf{k}_{gxy} = \frac{S}{30L} \begin{bmatrix} 1 & 2 & 3 & 4 & 5 & 6 \\ 0 & 0 & 0 & 0 & 0 & 0 \\ 0 & 36 & 3L & 0 & -36 & 3L \\ 0 & 3L & 4L^2 & 0 & -3L & -L^2 \\ 0 & 0 & 0 & 0 & 0 & 0 \\ 0 & -36 & -3L & 0 & 36 & -3L \\ 0 & 3L & -L^2 & 0 & -3L & 4L^2 \end{bmatrix}_{6 \times 6}$$

$$\mathbf{k}_{xy} = \mathbf{k}_{oxy} + \mathbf{k}_{gxy}$$

$$\mathbf{R} = (\mathbf{k}_{oxy} + \mathbf{k}_{gxy})\mathbf{d}$$

# Bifurkaciona stabilnost. Sistem linijskih KE

- **Ukupna potencijalna energija diskretnog sistema može da se prikaže u obliku**

$$\Pi = \frac{1}{2} \mathbf{d}^{*T} (\mathbf{K}_o^* + \mathbf{K}_g^*) \mathbf{d}^* - \mathbf{d}^{*T} \mathbf{Q}^*$$

- **Jednačine sistema KE** (jednačine ravnoteže u čvorovima mreže konačnih elemenata) određuju se primenom principa o minimumu ukupne potencijalne energije

$$\delta \Pi = 0 \Rightarrow (\mathbf{K}_o^* + \mathbf{K}_g^*) \mathbf{d}^* = \mathbf{Q}^*$$

- **Stanje bifurkacione ravnoteže, odnosno indiferentno ili neutralno stanje ravnoteže, nastaje kada je druga varijacija ukupne potencijalne energije jednaka nuli, tj. varijacijom prethodnog izraza dobija se**

$$\delta^2 \Pi = 0 \Rightarrow (\mathbf{K}_o^* + \mathbf{K}_g^*) \delta \mathbf{d}^* = 0$$

# Bifurkaciona stabilnost. Sistem linijskih KE

- Da bi prethodni homogen sistem imao netrivialno rešenje ( $\delta d^* \neq 0$ ) mora biti zadovoljen uslov

$$\det(\mathbf{K}_o^* + \mathbf{K}_g^*) = 0$$

- U analizi bifurkacione stabilnosti relativni odnos između aksijalnih sila u KE sistema je poznat i nezavisan od intenziteta spoljašnjih dejstava. Geometrijska matrica krutosti zavisi od aksijalnih sila u KE koje mogu da se odrede prema linearnoj teoriji za proizvoljan intenzitet spoljašnjeg dejstva. S obzirom na to da se intenzitet aksijalnih sila proporcionalno menja sa intenzitetom spoljašnjeg dejstva, i ako se faktor proporcionalnosti obeleži sa  $\lambda$ , prethodna jednačina postaje

$$\det(\mathbf{K}_o^* + \lambda \mathbf{K}_g^*) = 0$$

# Bifurkaciona stabilnost. Sistem linijskih KE

- Prethodni izraz predstavlja karakterističnu jednačinu kojom je definisan problem bifurkacione stabilnosti sistema KE u obliku algebarskog svojstvenog problema koji ima  $n$  svojstvenih vrednosti  $\lambda_i$ ,  $i = 1, 2, \dots, n$ , gde je  $n$  broj stepeni slobode sistema. Rešavanjem svojstvenog problema određuje se najmanja apsolutna vrednost faktora proporcionalnosti  $\lambda$  (najmanja svojstvena vrednost, tj. najmanji koren karakterističnog polinoma) koji odgovara kritičnom opterećenju. Inicijalno opterećenje, na osnovu koga su određene aksijalne sile u KE, množi se najmanjom vrednosti faktora proporcionalnosti  $\lambda = \lambda_{min}$  i na taj način određuje se intenzitet kritičnog opterećenja, tj. određuje se najmanji intenzitet spoljašnjeg dejstva pri kome sistem gubi stabilnost. Faktoru proporcionalnosti  $\lambda_{min}$  odgovara svojstveni vektor  $\mathbf{d}^*$ , tj. kritični svojstveni vektor (forma izvijanja), koji se određuje iz sistema jednačina

$$(\mathbf{K}_o^* + \lambda_{min} \mathbf{K}_g^*) \mathbf{d}^* = 0$$

# Bifurkaciona stabilnost. Linijski KE

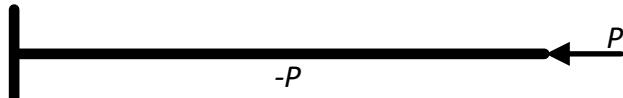
## ■ Primer 1. Konzolni nosač

Matematički model konzolnog nosača

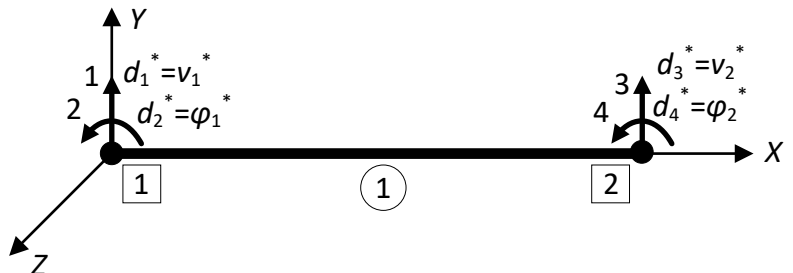


$$\mathbf{k}_o^1 = \mathbf{k}_o^{1*} = \frac{EI_z}{L^3} \begin{bmatrix} 1 & 2 & 3 & 4 \\ 12 & 6L & -12 & 6L \\ 6L & 4L^2 & -6L & 2L^2 \\ -12 & -6L & 12 & -6L \\ 6L & 2L^2 & -6L & 4L^2 \end{bmatrix} \begin{bmatrix} 1 \\ 2 \\ 3 \\ 4 \end{bmatrix}$$

Raspodela aksijalnih sila, određena  
primenom linearne teorije



Numerički model  
Globalni koordinatni sistem i stepeni slobode



LKS i GKS su paralelni pa je matrica  
transformacije jedinična

$$\mathbf{k}_g^1 = \mathbf{k}_g^{1*} = \frac{-P}{30L} \begin{bmatrix} 1 & 2 & 3 & 4 \\ 36 & 3L & -36 & 3L \\ 3L & 4L^2 & -3L & -L^2 \\ -36 & -3L & 36 & -3L \\ 3L & -L^2 & -3L & 4L^2 \end{bmatrix} \begin{bmatrix} 1 \\ 2 \\ 3 \\ 4 \end{bmatrix}$$

# Bifurkaciona stabilnost. Linijski KE

## ■ Primer 1. Konzolni nosač

Vodeći računa o graničnim uslovima  $d_1^* = d_2^* = 0$  jednačina bifurkacione stabilnosti glasi

$$\left| \frac{EI_z}{L^3} \begin{bmatrix} 3 & 4 & \\ 12 & -6L & 3 \\ -6L & 4L^2 & 4 \end{bmatrix} - \frac{P}{30L} \begin{bmatrix} 3 & 4 & \\ 36 & -3L & 3 \\ -3L & 4L^2 & 4 \end{bmatrix} \right| = 0$$

Rešavanjem prethodnog sistema jednačina po nepoznatom  $P$  dobija se

$$P_1 = 0,25188 \frac{\pi^2 EI_z}{L^2} \quad P_2 = 3,26059 \frac{\pi^2 EI_z}{L^2}$$

Kritično opterećenje je manja vrednost od prethodne dve

Ojlerova kritična sila glasi  $P_{kr}^E = 0,25000 \frac{\pi^2 EI_z}{L^2}$

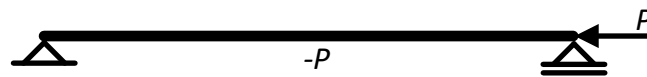
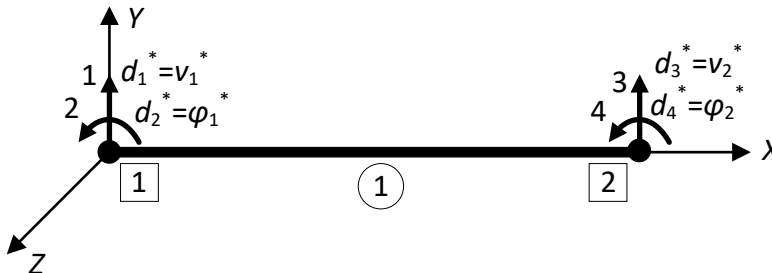
Poređenjem se zaključuje se da je približno rešenje veće za približno 0,8% u odnosu na Ojlerovo rešenje

Povećanje tačnosti se postiže diskretizacijom konzole sa više KE

# Bifurkaciona stabilnost. Linijski KE

## ■ Primer 2. Prosta greda

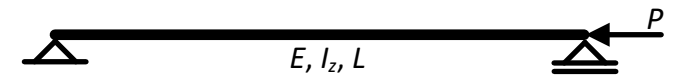
### ▪ Varijanta I



$$\left[ \frac{EI_z}{L^3} \begin{bmatrix} 2 & 4 \\ 4L^2 & 2L^2 \\ 2L^2 & 4L^2 \end{bmatrix} - \frac{P}{30L} \begin{bmatrix} 2 & 4 \\ 4L^2 & -L^2 \\ -L^2 & 4L^2 \end{bmatrix} \right] = 0$$

$$P_1 = 1,21585 \frac{\pi^2 EI_z}{L^2} \quad P_2 = 6,07927 \frac{\pi^2 EI_z}{L^2}$$

$$P_{kr}^E = 1,0 \frac{\pi^2 EI_z}{L^2}$$



$$\mathbf{k}_o^1 = \mathbf{k}_o^{1*} = \frac{EI_z}{L^3} \begin{bmatrix} 1 & 2 & 3 & 4 \\ 12 & 6L & -12 & 6L \\ 6L & 4L^2 & -6L & 2L^2 \\ -12 & -6L & 12 & -6L \\ 6L & 2L^2 & -6L & 4L^2 \end{bmatrix} \begin{bmatrix} 1 & 2 & 3 & 4 \\ 12 & 6L & -12 & 6L \\ 6L & 4L^2 & -6L & 2L^2 \\ -12 & -6L & 12 & -6L \\ 6L & 2L^2 & -6L & 4L^2 \end{bmatrix}$$

$$\mathbf{k}_g^1 = \mathbf{k}_g^{1*} = \frac{-P}{30L} \begin{bmatrix} 1 & 2 & 3 & 4 \\ 36 & 3L & -36 & 3L \\ 3L & 4L^2 & -3L & -L^2 \\ -36 & -3L & 36 & -3L \\ 3L & -L^2 & -3L & 4L^2 \end{bmatrix} \begin{bmatrix} 1 & 2 & 3 & 4 \\ 36 & 3L & -36 & 3L \\ 3L & 4L^2 & -3L & -L^2 \\ -36 & -3L & 36 & -3L \\ 3L & -L^2 & -3L & 4L^2 \end{bmatrix}$$

Poređenjem se zaključuje se da je približno rešenje veće za približno 21% u odnosu na Ojlerovo rešenje

Povećanje tačnosti se postiže diskretizacijom proste grede sa više KE

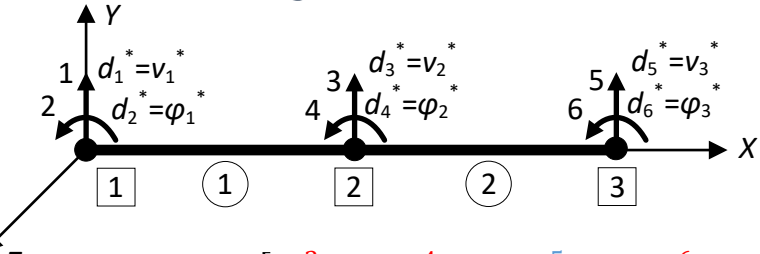
# Bifurkaciona stabilnost. Linijski KE

## ■ Primer 2. Prosta greda

### ■ Varijanta II

$$\mathbf{k}_o^1 = \mathbf{k}_o^{1*} = \frac{EI_z}{(L/2)^3} \begin{bmatrix} 1 & 2 & 3 & 4 & 1 \\ 12 & 6(L/2) & -12 & 6(L/2) & 2 \\ 6(L/2) & 4(L/2)^2 & -6(L/2) & 2(L/2)^2 & 2 \\ -12 & -6(L/2) & 12 & -6(L/2) & 3 \\ 6(L/2) & 2(L/2)^2 & -6(L/2) & 4(L/2)^2 & 4 \end{bmatrix}$$

$$\mathbf{k}_g^1 = \mathbf{k}_g^{1*} = \frac{-P}{30(L/2)} \begin{bmatrix} 1 & 2 & 3 & 4 & 1 \\ 36 & 3(L/2) & -36 & 3(L/2) & 1 \\ 3(L/2) & 4(L/2)^2 & -3(L/2) & -(L/2)^2 & 2 \\ -36 & -3(L/2) & 36 & -3(L/2) & 3 \\ 3(L/2) & -(L/2)^2 & -3(L/2) & 4(L/2)^2 & 4 \end{bmatrix}$$



$$\mathbf{k}_o^2 = \mathbf{k}_o^{2*} = \frac{EI_z}{(L/2)^3} \begin{bmatrix} 3 & 4 & 5 & 6 & 3 \\ 12 & 6(L/2) & -12 & 2(L/2)^2 & 4 \\ 6(L/2) & 4(L/2)^2 & -6(L/2) & 12 & 5 \\ -12 & -6(L/2) & 12 & -6(L/2) & 5 \\ 6(L/2) & 2(L/2)^2 & -6(L/2) & 4(L/2)^2 & 6 \end{bmatrix}$$

$$\mathbf{k}_g^2 = \mathbf{k}_g^{2*} = \frac{-P}{30(L/2)} \begin{bmatrix} 3 & 4 & 5 & 6 & 3 \\ 36 & 3(L/2) & -36 & 3(L/2) & 3 \\ 3(L/2) & 4(L/2)^2 & -3(L/2) & -(L/2)^2 & 4 \\ -36 & -3(L/2) & 36 & -3(L/2) & 5 \\ 3(L/2) & -(L/2)^2 & -3(L/2) & 4(L/2)^2 & 6 \end{bmatrix}$$

$$\left| \frac{EI_z}{(L/2)^3} \begin{bmatrix} 2 & 3 & 4 & 6 & 2 \\ L^2 & -3L & \frac{L^2}{2} & 0 & 2 \\ -3L & 24 & 0 & 3L & 3 \\ \frac{L^2}{2} & 0 & 2L^2 & \frac{L^2}{2} & 4 \\ 0 & 3L & \frac{L^2}{2} & L^2 & 6 \end{bmatrix} - \frac{P}{30(L/2)} \begin{bmatrix} 2 & 3 & 4 & 6 & 2 \\ L^2 & -\frac{3L}{2} & -\frac{L^2}{4} & 0 & 2 \\ -\frac{3L}{2} & 72 & 0 & \frac{3L}{2} & 3 \\ -\frac{L^2}{4} & 0 & 2L^2 & -\frac{L^2}{4} & 4 \\ 0 & \frac{3L}{2} & -\frac{L^2}{4} & L^2 & 6 \end{bmatrix} \right| = 0$$

$$P_1 = 4,86342 \frac{\pi^2 EI_z}{L^2}$$

$$P_2 = 24,31708 \frac{\pi^2 EI_z}{L^2}$$

$$P_3 = 1,00752 \frac{\pi^2 EI_z}{L^2} \quad P_{kr}^E = 1,0 \frac{\pi^2 EI_z}{L^2}$$

$$P_4 = 13,04235 \frac{\pi^2 EI_z}{L^2}$$

Poređenjem se zaključuje se da je približno rešenje veće za približno 0,8% u odnosu na Ojlerovo rešenje

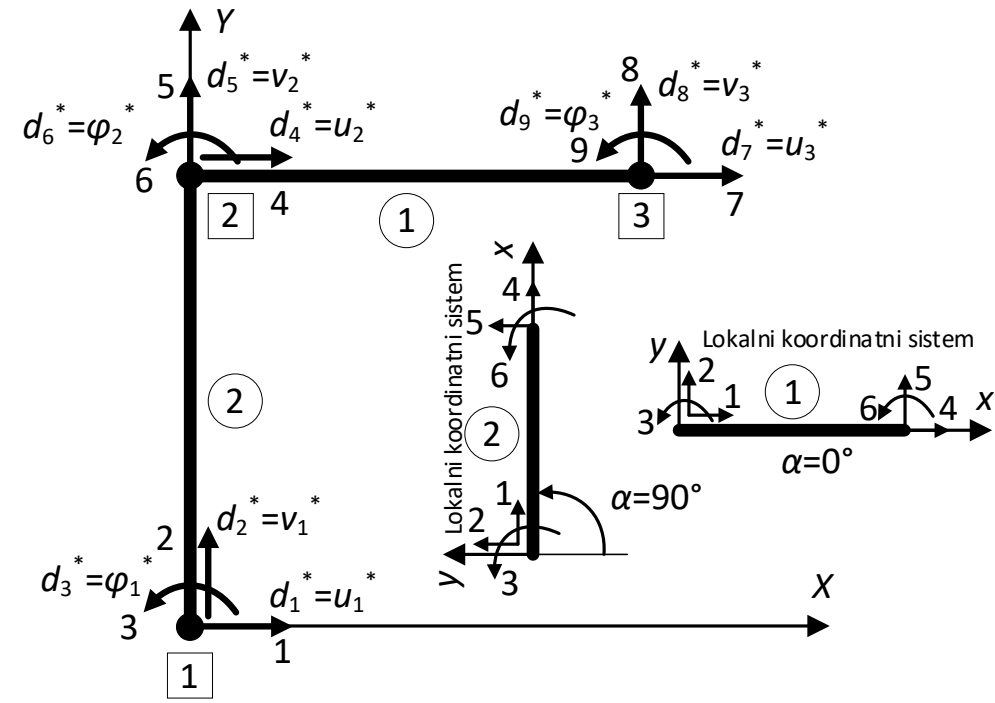
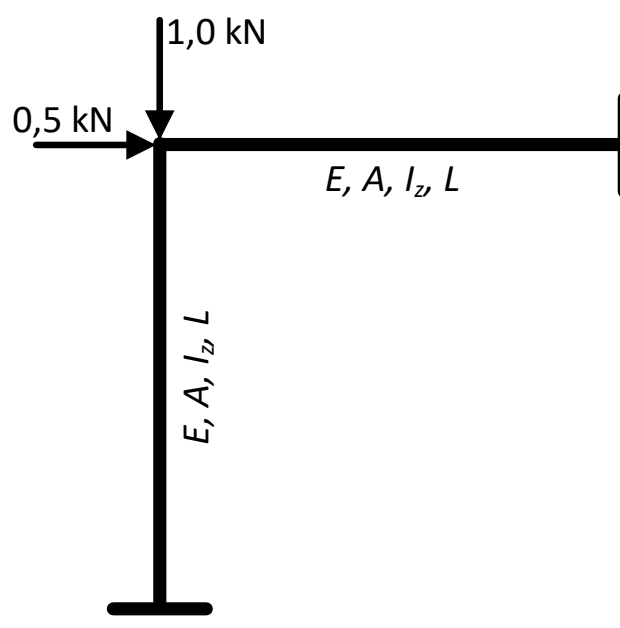
Diskretizacijom sa više KE postiže se brza konvergencija ka Ojlerovom rešenju

Diskretizacijom sa više KE postiže se brza konvergencija ka tačnom rešenju (u okviru tačnosti razmatrane teorije) sa gornje strane

# Bifurkaciona stabilnost. Linijski KE

## ■ Primer 3. Ravanski okvir

- Podaci su:  $E = 210 \text{ GPa}$ ,  $L = 10,0 \text{ m}$  i poprečni presek IPE100 ( $I_z = 1,71 \times 10^{-6} \text{ m}^4$  i  $A = 1,03 \times 10^{-3} \text{ m}^2$ )

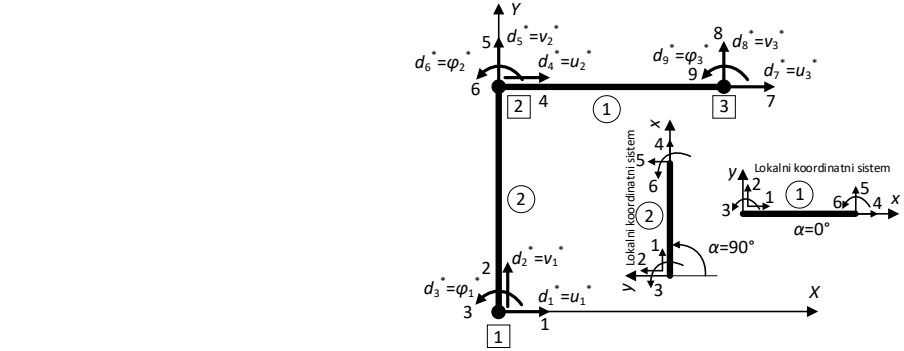


# Bifurkaciona stabilnost. Linijski KE

## ■ Primer 3. Ravanski okvir

$$\mathbf{k}_1 = \mathbf{k}_2 = \begin{bmatrix} \frac{EA}{L} & 0 & 0 & -\frac{EA}{L} & 0 & 0 \\ 0 & \frac{12EI_z}{L^3} & \frac{6EI_z}{L^2} & 0 & -\frac{12EI_z}{L^3} & \frac{6EI_z}{L^2} \\ 0 & \frac{6EI_z}{L^2} & \frac{4EI_z}{L} & 0 & -\frac{6EI_z}{L^2} & \frac{2EI_z}{L} \\ -\frac{EA}{L} & 0 & 0 & \frac{EA}{L} & 0 & 0 \\ 0 & -\frac{12EI_z}{L^3} & -\frac{6EI_z}{L^2} & 0 & \frac{12EI_z}{L^3} & -\frac{6EI_z}{L^2} \\ 0 & \frac{6EI_z}{L^2} & \frac{2EI_z}{L} & 0 & -\frac{6EI_z}{L^2} & \frac{4EI_z}{L} \end{bmatrix}$$

$$\mathbf{k}_1 = \mathbf{k}_1^* = \begin{bmatrix} 4 & 5 & 6 & 7 & 8 & 9 & 4 \\ \frac{EA}{L} & 0 & 0 & -\frac{EA}{L} & 0 & 0 & 4 \\ 0 & \frac{12EI_z}{L^3} & \frac{6EI_z}{L^2} & 0 & -\frac{12EI_z}{L^3} & \frac{6EI_z}{L^2} & 5 \\ 0 & \frac{6EI_z}{L^2} & \frac{4EI_z}{L} & 0 & -\frac{6EI_z}{L^2} & \frac{2EI_z}{L} & 6 \\ -\frac{EA}{L} & 0 & 0 & \frac{EA}{L} & 0 & 0 & 7 \\ 0 & -\frac{12EI_z}{L^3} & -\frac{6EI_z}{L^2} & 0 & \frac{12EI_z}{L^3} & -\frac{6EI_z}{L^2} & 8 \\ 0 & \frac{6EI_z}{L^2} & \frac{2EI_z}{L} & 0 & -\frac{6EI_z}{L^2} & \frac{4EI_z}{L} & 9 \end{bmatrix}$$



$$\mathbf{T}_2 = \begin{bmatrix} \cos\alpha & \sin\alpha & 0 & 0 & 0 & 0 \\ -\sin\alpha & \cos\alpha & 0 & 0 & 0 & 0 \\ 0 & 0 & 1 & 0 & 0 & 0 \\ 0 & 0 & 0 & \cos\alpha & \sin\alpha & 0 \\ 0 & 0 & 0 & -\sin\alpha & \cos\alpha & 0 \\ 0 & 0 & 0 & 0 & 0 & 1 \end{bmatrix} = \begin{bmatrix} 0 & 1 & 0 & 0 & 0 & 0 \\ -1 & 0 & 0 & 0 & 0 & 0 \\ 0 & 0 & 1 & 0 & 0 & 0 \\ 0 & 0 & 0 & 0 & 1 & 0 \\ 0 & 0 & 0 & -1 & 0 & 0 \\ 0 & 0 & 0 & 0 & 0 & 1 \end{bmatrix}$$

$$\mathbf{k}_2^* = \mathbf{T}_2^T \mathbf{k}_2 \mathbf{T}_2 = \begin{bmatrix} 1 & 2 & 3 & 4 & 5 & 6 & 1 \\ \frac{12EI_z}{L^3} & 0 & -\frac{6EI_z}{L^2} & -\frac{12EI_z}{L^3} & 0 & -\frac{6EI_z}{L^2} & 1 \\ 0 & \frac{EA}{L} & 0 & 0 & -\frac{EA}{L} & 0 & 2 \\ -\frac{6EI_z}{L^2} & 0 & \frac{4EI_z}{L} & \frac{6EI_z}{L^2} & 0 & \frac{2EI_z}{L} & 3 \\ -\frac{12EI_z}{L^3} & 0 & \frac{6EI_z}{L^2} & \frac{12EI_z}{L^3} & 0 & \frac{6EI_z}{L^2} & 4 \\ 0 & -\frac{EA}{L} & 0 & 0 & \frac{EA}{L} & 0 & 5 \\ -\frac{6EI_z}{L^2} & 0 & \frac{2EI_z}{L} & \frac{6EI_z}{L^2} & 0 & \frac{4EI_z}{L} & 6 \end{bmatrix}$$

# Bifurkaciona stabilnost. Linijski KE

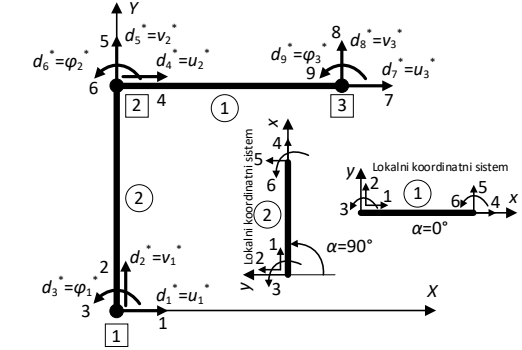
## ■ Primer 3. Ravanski okvir

$$\mathbf{P}^* = \begin{pmatrix} 0 & 1 \\ \dots & \dots \\ 0 & 2 \\ \dots & \dots \\ 0,5 & 4 \\ -1,0 & 5 \\ 0 & 6 \\ \dots & \dots \\ 0 & 7 \\ 0 & 8 \\ \dots & \dots \\ 0 & 9 \end{pmatrix}$$

$$\mathbf{K}_{aa}^* \mathbf{d}_a^* = \mathbf{S}_a^* = \mathbf{P}_a^* + \mathbf{Q}_a^*$$

$$\frac{EI_z}{L^3} \begin{bmatrix} 4 & 5 & 6 & | & 4 \\ 60245,9 & 0 & 60 & | & 4 \\ 0 & 60245,9 & 60 & | & 5 \\ 60 & 60 & 800 & | & 6 \end{bmatrix} \begin{pmatrix} d_4^* \\ d_5^* \\ d_6^* \end{pmatrix} = \begin{pmatrix} 0,5 & 4 \\ -1 & 5 \\ 0 & 6 \end{pmatrix}$$

$$\begin{pmatrix} d_4^* \\ d_5^* \\ d_6^* \end{pmatrix} = \begin{pmatrix} u_2^* \\ v_2^* \\ \varphi_2^* \end{pmatrix} = \frac{1}{EI_z} \begin{pmatrix} 0,00829869746 & 4 \\ -0,01659925491 & 5 \\ 0,00062254181 & 6 \end{pmatrix}$$



$$\mathbf{d}^{1*} = \frac{1}{EI_z} \begin{pmatrix} 0,00829869746 & 4 \\ -0,01659925491 & 5 \\ 0,00062254181 & 6 \\ 0 & 7 \\ 0 & 8 \\ 0 & 9 \end{pmatrix},$$

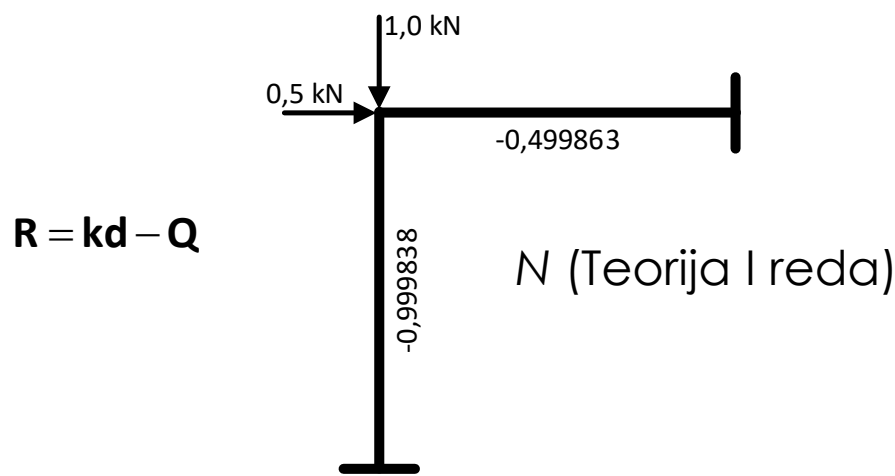
$$\mathbf{d}^1 = \frac{1}{EI_z} \begin{pmatrix} 0,00829869746 \\ -0,01659925491 \\ 0,00062254181 \\ 0 \\ 0 \\ 0 \end{pmatrix}$$

$$\mathbf{d}^{2*} = \frac{1}{EI_z} \begin{pmatrix} 0 & 1 \\ 0 & 2 \\ 0 & 3 \\ 0,00829869746 & 4 \\ -0,01659925491 & 5 \\ 0,00062254181 & 6 \end{pmatrix},$$

$$\mathbf{d}^2 = \mathbf{T}_2 \mathbf{d}^{2*} = \frac{1}{EI_z} \begin{pmatrix} 0 \\ 0 \\ 0 \\ -0,01659925491 \\ -0,00829869746 \\ 0,00062254181 \end{pmatrix}$$

# Bifurkaciona stabilnost. Linijski KE

## ■ Primer 3. Ravanski okvir



$$k_g^1 = k_g^{1*} = \frac{-0,499863}{30L}$$

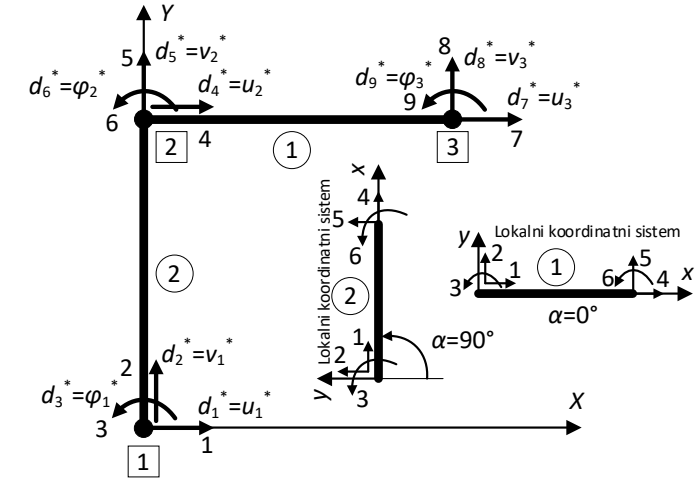
4	5	6	7	8	9	4
0	0	0	0	0	0	4
0	36	$3L$	0	$-36$	$3L$	5
0	$3L$	$4L^2$	0	$-3L$	$-L^2$	6
0	0	0	0	0	0	7
0	$-36$	$-3L$	0	$36$	$-3L$	8
0	$3L$	$-L^2$	0	$-3L$	$4L^2$	9

$$k_g^2 = \frac{-0,999838}{30L}$$

0	0	0	0	0	0	0
0	36	$3L$	0	$-36$	$3L$	
0	$3L$	$4L^2$	0	$-3L$	$-L^2$	
0	0	0	0	0	0	0
0	$-36$	$-3L$	0	$36$	$-3L$	
0	$3L$	$-L^2$	0	$-3L$	$4L^2$	

$$k_g^{2*} = \mathbf{T}_2^T \mathbf{k}_g^2 \mathbf{T}_2 = \frac{-0,999838}{30L}$$

1	2	3	4	5	6	1
36	0	$-3L$	$-36$	0	$-3L$	1
0	0	0	0	0	0	2
$-3L$	0	$4L^2$	$3L$	0	$-L^2$	3
$-36$	0	$3L$	$36$	0	$3L$	4
0	0	0	0	0	0	5
$-3L$	0	$-L^2$	$3L$	0	$4L^2$	6



# Bifurkaciona stabilnost. Linijski KE

## ■ Primer 3. Ravanski okvir

Jednačina bifurkacione stabilnosti glasi

$$\left| \frac{EI_z}{L^3} \begin{bmatrix} 4 & 5 & 6 & 4 \\ 60245,9 & 0 & 60 & 4 \\ 0 & 60245,9 & 60 & 5 \\ 60 & 60 & 800 & 6 \end{bmatrix} + \lambda \begin{bmatrix} 4 & 5 & 6 & 4 \\ -0,119981 & 0 & -0,0999838 & 4 \\ 0 & -0,0599836 & -0,0499863 & 5 \\ -0,0999838 & -0,0499863 & -1,9996 & 6 \end{bmatrix} \right| = 0$$

$$-0,0134914\lambda^3 + 7516,47\lambda^2 - 9,36879 \cdot 10^8 \lambda + 1,34439 \cdot 10^{11} = 0$$

$$\lambda_1 = 143,7 = \lambda_{min}, \quad \lambda_2 = 187962 \quad i \quad \lambda_3 = 369023$$

Najmanja vrednost od prethodne tri predstavlja faktor kritičnog opterećenja, odnosno kritično opterećenje određuje se množenjem intenziteta spoljašnjih dejstava faktorom  $\lambda_{min}$

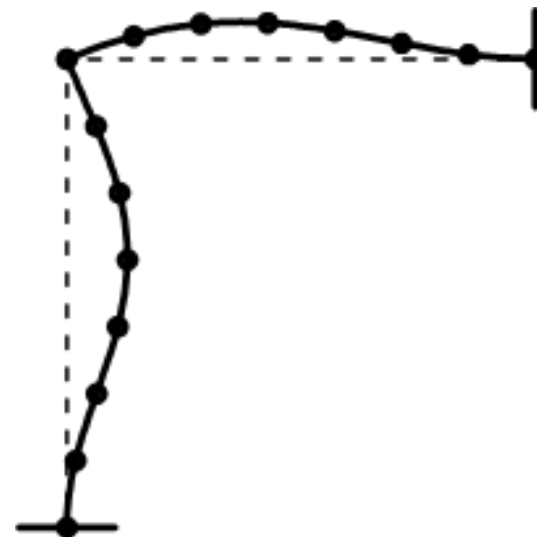
Približavanje tačnom rešenju za faktor kritičnog opterećenja  $\lambda_{min}$  postiže se diskretizacijom stuba i grede sa većim brojem KE

# Bifurkaciona stabilnost. Linijski KE

## ■ Primer 3. Ravanski okvir

- Podelom stuba i grede na veći broj KE postiže se brza konvergencija ka tačnom rešenju (u okviru tačnosti razmatrane teorije) sa gornje strane

Broj KE	$\lambda_{\min}$
2 (1 KE po štalu)	143,7
4 (2 KE po štalu)	92,2
6 (3 KE po štalu)	90,7
8 (4 KE po štalu)	90,3
10 (5 KE po štalu)	90,2
12 (6 KE po štalu)	90,1
14 (7 KE po štalu)	90,1



# Bifurkaciona stabilnost ploča



# Bifurkaciona stabilnost ploča

- Komponente membranskih deformacija u srednjoj ravni ploče koje su rezultat velikih poprečnih pomeranja  $w = w(x,y)$ , glase (nelinearni članovi veze deformacija i pomeranja)

$$\varepsilon_x = \frac{1}{2} \left( \frac{\partial w}{\partial x} \right)^2 \quad \varepsilon_y = \frac{1}{2} \left( \frac{\partial w}{\partial y} \right)^2 \quad \gamma_{xy} = \frac{\partial w}{\partial x} \frac{\partial w}{\partial y}$$

- Po analogiji sa razmatranjima kod linjskog KE pojednostavljeni izraz za potencijalnu energiju deformacije savijanja ploče  $U_b$  glasi

$$U_b = \frac{1}{2} \int_A \boldsymbol{\kappa}^T \mathbf{D} \boldsymbol{\kappa} dA + \frac{1}{2} \int_A \left[ N_x \left( \frac{\partial w}{\partial x} \right)^2 + N_y \left( \frac{\partial w}{\partial y} \right)^2 + 2N_{xy} \frac{\partial w}{\partial x} \frac{\partial w}{\partial y} \right] dA$$

- Raspodela poprečnih pomeranja  $\mathbf{w}$ , u polju KE, u zavisnosti od pomeranja u čvorovima može da se prikaže na sledeći način

$$\mathbf{w} = \mathbf{Nd}$$

# Bifurkaciona stabilnost ploča

- Sada, sledi

$$\frac{1}{2} \int_A \mathbf{k}^T \mathbf{D} \mathbf{k} dA = \frac{1}{2} \mathbf{d}^T \mathbf{k}_o \mathbf{d} \quad \mathbf{k}_o = \int_A \mathbf{B}^T \mathbf{D} \mathbf{B} dA$$

$$\frac{1}{2} \int_A \left[ N_x \left( \frac{\partial w}{\partial x} \right)^2 + N_y \left( \frac{\partial w}{\partial y} \right)^2 + 2N_{xy} \frac{\partial w}{\partial x} \frac{\partial w}{\partial y} \right] dA$$

$$\frac{1}{2} \int_A \begin{Bmatrix} \frac{\partial w}{\partial x} \\ \frac{\partial w}{\partial y} \end{Bmatrix}^T \begin{bmatrix} N_x & N_{xy} \\ N_{xy} & N_y \end{bmatrix} \begin{Bmatrix} \frac{\partial w}{\partial x} \\ \frac{\partial w}{\partial y} \end{Bmatrix} dA = \frac{1}{2} \mathbf{d}^T \mathbf{k}_g \mathbf{d} \quad \begin{Bmatrix} \frac{\partial w}{\partial x} \\ \frac{\partial w}{\partial y} \end{Bmatrix} = \begin{bmatrix} \frac{\partial \mathbf{N}}{\partial x} \\ \frac{\partial \mathbf{N}}{\partial y} \end{bmatrix} \mathbf{d} = \mathbf{G}_{2xn} \mathbf{d}_{nx1}$$

$$\mathbf{k}_g = \int_A \mathbf{G}^T \begin{bmatrix} N_x & N_{xy} \\ N_{xy} & N_y \end{bmatrix} \mathbf{G} dA$$

# Bifurkaciona stabilnost ploča

- Geometrijske matrice krutosti (pravougaoni nekonformni KE koji ima 12 stepeni slobode)

$$\mathbf{k}_{gx} = \frac{N_x b}{630a}.$$

$$\begin{bmatrix} 276 & 66b & -42a & -276 & -66b & -42a & -102 & 39b & -21a & 102 & -39b & -21a \\ 24b^2 & 0 & -66b & -24b^2 & 0 & -39b & 18b^2 & 0 & 39b & -18b^2 & 0 & \\ 112a^2 & 42a & 0 & -28a^2 & 21a & 0 & -14a^2 & -21a & 0 & 56a^2 & & \\ 276 & 66b & 42a & 102 & -39b & 21a & -102 & 39b & 21a & & & \\ 24b^2 & 0 & 39b & -18b^2 & 0 & -39b & 18b^2 & 0 & & & & \\ 112a^2 & 21a & 0 & 56a^2 & -21a & 0 & -14a^2 & & & & & \\ 276 & -66b & 42a & -276 & 66b & 42a & & & & & & \\ 24b^2 & 0 & 66b & -24b^2 & 0 & & & & & & & \\ 112a^2 & -42a & 0 & -28a^2 & & & & & & & & \\ 276 & -66b & -42a & & & & & & & & & \\ 24b^2 & 0 & & & & & & & & & & \\ 112a^2 & & & & & & & & & & & \end{bmatrix}$$

sim.

$$\mathbf{k}_{gy} = \frac{N_y a}{630b}.$$

$$\begin{bmatrix} 276 & 42b & -66a & 102 & 21b & 39a & -102 & 21b & -39a & -276 & 42b & 66a \\ 112b^2 & 0 & 21b & 56b^2 & 0 & -21b & -14b^2 & 0 & -42b & -28b^2 & 0 & \\ 24a^2 & -39a & 0 & -18a^2 & 39a & 0 & 18a^2 & 66a & 0 & -24a^2 & & \\ 276 & 42b & 66a & -276 & 42b & -66a & -102 & 21b & 39a & & & \\ 112b^2 & 0 & -42b & -28b^2 & 0 & -21b & -14b^2 & 0 & & & & \\ 24a^2 & -66a & 0 & -24a^2 & -39a & 0 & 18a^2 & & & & & \\ 276 & -42b & 66a & 102 & -21b & -39a & & & & & & \\ 112b^2 & 0 & -21b & 56b^2 & 0 & & & & & & & \\ 24a^2 & 39a & 0 & -18a^2 & & & & & & & & \\ 276 & -42b & -66a & & & & & & & & & \\ 112b^2 & 0 & & & & & & & & & & \\ 24a^2 & & & & & & & & & & & \end{bmatrix}$$

sim.

$$\mathbf{k}_{gxy} = \frac{N_{xy}}{360}.$$

$$\begin{bmatrix} 180 & 0 & 0 & 0 & -72b & 0 & -180 & 72b & -72a & 0 & 0 & 72a \\ 0 & -20ab & 72b & 0 & 20ab & -72b & 24b^2 & -20ab & 0 & 0 & 20ab & \\ 0 & 0 & 20ab & 0 & 72a & -20ab & 24a^2 & -72a & 20ab & 0 & & \\ -180 & 0 & 0 & 0 & 0 & 72a & 180 & -72b & -72a & & & \\ 0 & -20ab & 0 & 0 & 20ab & 72b & -24b^2 & -20ab & & & & \\ 0 & -72a & 20ab & 0 & 72a & -20ab & -24a^2 & & & & & \\ 180 & 0 & 0 & 0 & 72b & 0 & 20ab & & & & & \\ 0 & -20ab & -72b & 0 & 20ab & & & & & & & \\ 0 & 0 & 20ab & 0 & & & & & & & & \\ & & & & -180 & 0 & 0 & & & & & \\ & & & & 0 & -20b & 0 & & & & & \\ & & & & & & 0 & & & & & \end{bmatrix}$$

sim.

# Bifurkaciona stabilnost ploča

- Jednačina bifurkacione stabilnosti glasi

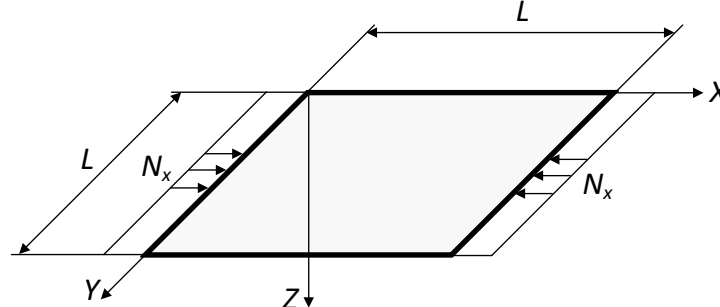
$$\det(\mathbf{K}_o^* + \lambda \mathbf{K}_g^*) = 0$$

- Kritični svojstveni vektor (forma izbočavanja) određuje se iz izraza

$$(\mathbf{K}_o^* + \lambda_{min} \mathbf{K}_g^*) \mathbf{d}^* = 0$$

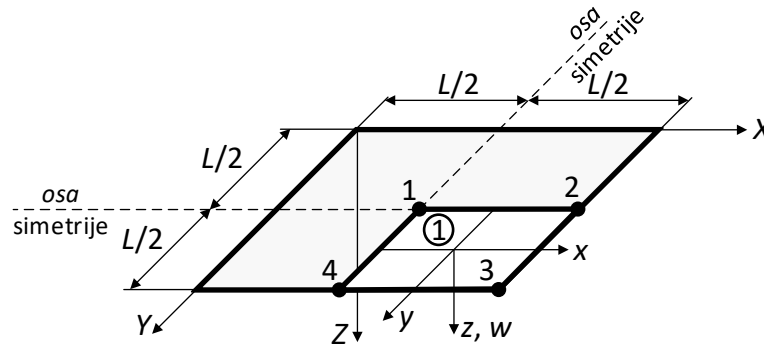
- Primer. KE sa 12 SS

- Analizira se stabilnost pritisnute tanke kvadratne ploče uklještene duž svih strana pri čemu linjsko oslanjanje obezbeđuje pomeranje u pravcu X ose
- Podaci su: modul elastičnosti E, debljina h, dužina ivice L i Poasonov koeficijent 0,3



# Bifurkaciona stabilnost ploča

## ■ Primer. KE sa 12 SS



$$\mathbf{K}_o^* = k_{1,1}^{(1)*} = k_{1,1}^{(1)} = 42,24 \frac{K}{L^2} \quad N_y = N_{xy} = N_{yx} = 0$$

$$\mathbf{K}_g^* = k_{g,1,1}^{(1)*} = k_{g,1,1}^{(1)} = -\frac{276}{630} N_x$$

$$\det(\mathbf{K}_o^* + \lambda \mathbf{K}_g^*) = 0 \quad 42,24 \frac{K}{L^2} - \frac{276}{630} N_x = 0$$

$$N_{x,\text{kritično}} (\text{MKE}) = 9,77 \frac{K\pi^2}{L^2}$$

$$N_{x,\text{kritično}} (\text{analitičko}) = 10,07 \frac{K\pi^2}{L^2}$$

Konvergencija ka analitičkom rešenju postiže se povećanjem broja konačnih elemenata (progušćenje mreže) i/ili primenom elemenata višeg reda